

Bootstrap temps-échelle multivarié pour tester l'égalité d'exposants d'autosimilarité

 Charles-Gérard Lucas¹, Patrice Abry¹, Herwig Wendt², Gustavo Didier³
¹ ENSL, CNRS, Laboratoire de physique, F-69342 Lyon, France, prénom.nom@ens-lyon.fr
² IRIT, Univ. Toulouse, CNRS, Toulouse, France, herwig.wendt@irit.fr
³ Math. Dept., Tulane University, New Orleans, USA, gdidier@tulane.edu

Objectifs

- Tests par paires d'exposants d'autosimilarité multivariée $H_m = H_{m+1}$
- Estimation de la puissance des tests

Méthodes

- Valeurs propres des spectres d'ondelettes
- Loi normale repliée
- Bootstrap par blocs temps-échelle multivarié

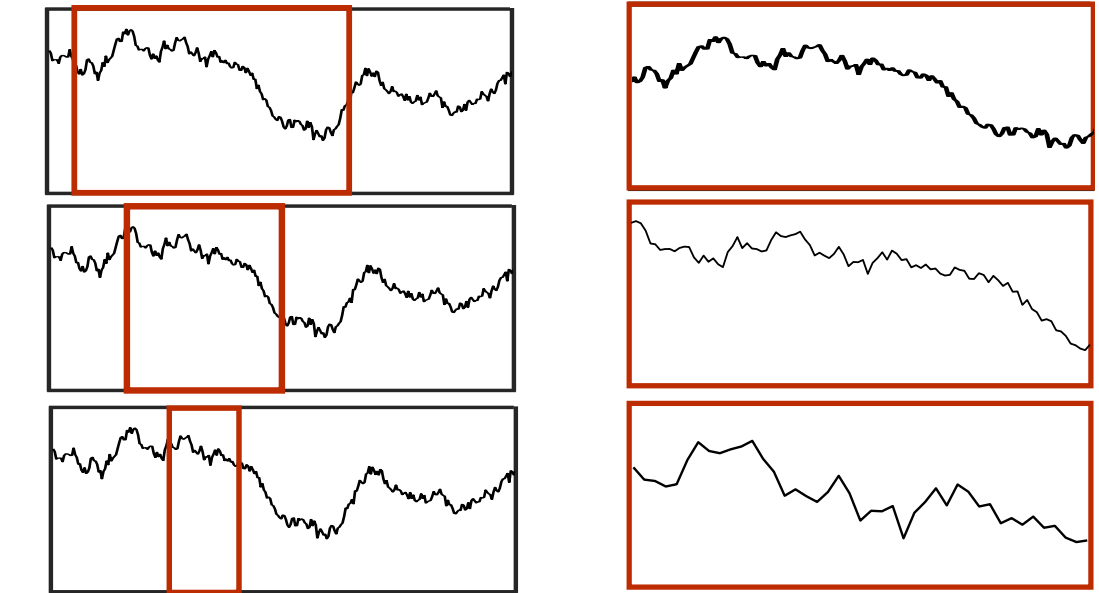
Perspectives

- Tests par paires non triées $H_m = H_{m'}$?
- Grande dimension ?

1. AUTOSIMILARITÉ MULTIVARIÉE

Modèle [Didier et al., 2011]

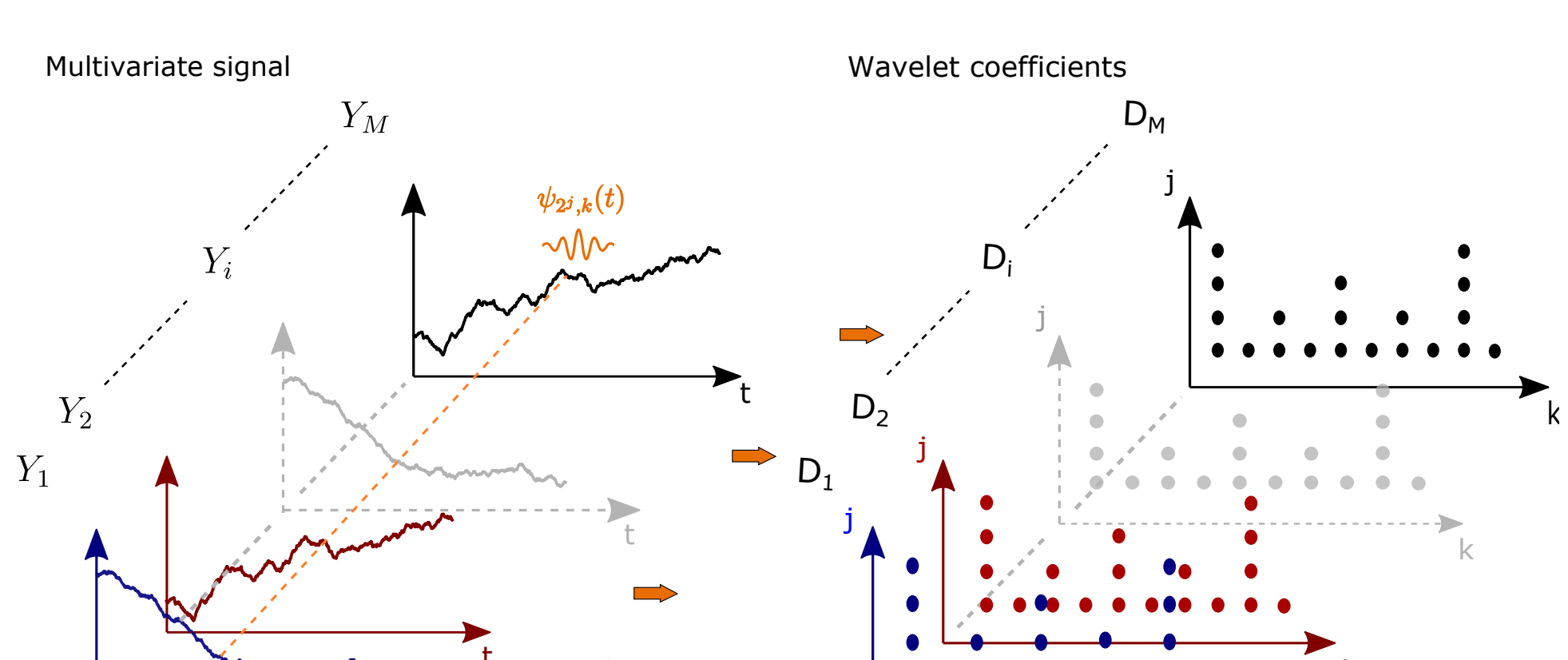
Autosimilité univariée


 $B_{H_m}(t)$ caractérisé par $0 < H_m < 1$

 Exposants d'autosimilarité multivariée : $\underline{H} = (H_1, \dots, H_M)$, $0 < H_1 \leq \dots \leq H_M < 1$

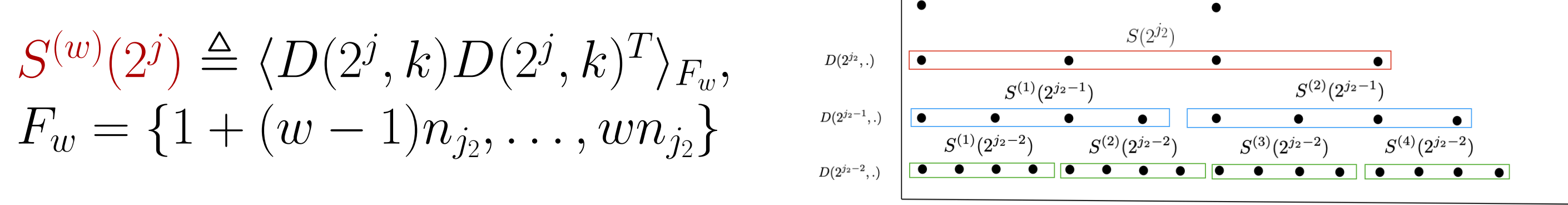
Estimation [Lucas et al., 2021]

1. Transformée en ondelettes multivariée :



$$\text{avec } D_m(2^j, k) = \langle 2^{-j/2} \psi_0(2^{-j}t - k) | Y_m(t) \rangle, \quad Y = WB_{\underline{H}, \Sigma}$$

2. Spectres d'ondelettes sur n_{j_2} coefficients, pour $w = 1, \dots, 2^{j-j_2}$:

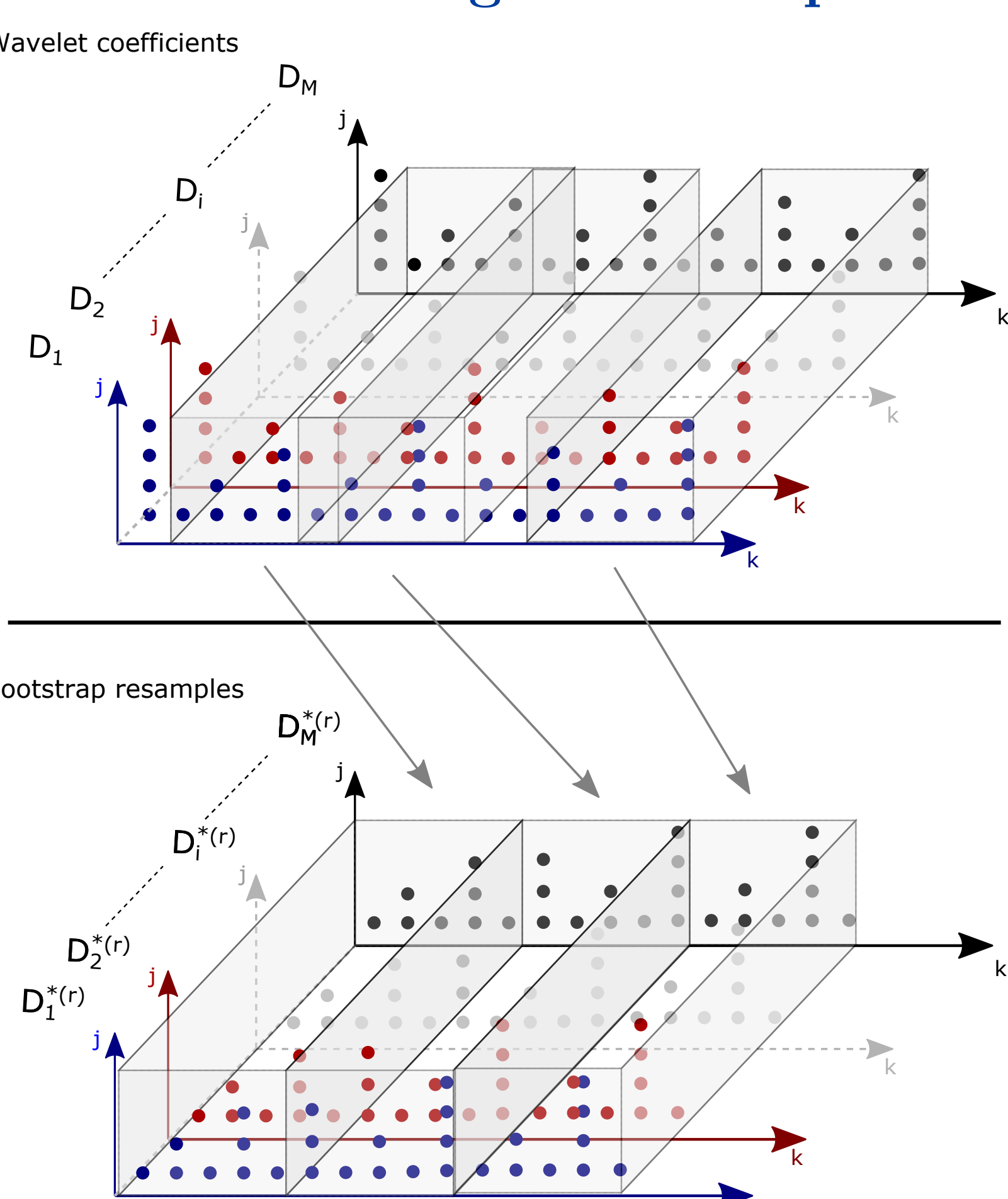


3. Valeurs propres $S^{(w)}(2^j) : \{\lambda_1^{(w)}(2^j), \dots, \lambda_M^{(w)}(2^j)\}$
→ loi de puissance asymptotique : $\lambda_m^{(w)}(2^j) = \xi_m 2^{j(2H_m + 1)}$

4. Régression linéaire : $\hat{H}_m = \frac{1}{2} \sum_{j=j_1}^{j_2} \omega_j \langle \log_2 \lambda_m^{(w)}(2^j) \rangle_w + \frac{1}{2}$

3. TESTS : BOOTSTRAP

Ré-échantillonnage bootstrap



⇒ R ré-échantillons :
 $D^{*(r)} = (D_1^{*(r)}, \dots, D_M^{*(r)})$

↓
 R estimées bootstrap :
 $\hat{H}^{*(r)} = (\hat{H}_1^{*(r)}, \dots, \hat{H}_M^{*(r)})$

↓
 Estimées bootstrap triées :
 $\hat{H}_{\tau^{*(r),1}}^{*(r)} < \dots < \hat{H}_{\tau^{*(r),M}}^{*(r)}$

↓
 Statistiques de test bootstrap :
 $\tilde{\delta}_m^{*(r)} = \hat{H}_{\tau^{*(r),M+1}}^{*(r)} - \hat{H}_{\tau^{*(r),M}}^{*(r)}$

↓
 Méthode des moments :
 $\tilde{\mu}_m^*, \tilde{\sigma}_m^*$

Définitions

1. p-valeurs $\tilde{p}_m^* \triangleq 1 - F_{\mathcal{FN}(0,1)}\left(\frac{\tilde{\delta}_m}{\tilde{\sigma}_m}\right)$

 $F_{\mathcal{FN}}$: fonction de répartition de la loi normale repliée

2. Décisions : $d_\alpha^{(m)} = 1 : \tilde{p}_m^* < \alpha$, α : probabilité de fausse alarme

3. Puissance : $\pi(\tilde{\mu}_m^*, \tilde{\sigma}_m^*) = 1 - F_{\mathcal{FN}(\tilde{\mu}_m^*, \tilde{\sigma}_m^*)}(F_{\mathcal{FN}(\mu_m=0, \tilde{\sigma}_m^*)}^{-1}(1-\alpha))$

2. TESTS : MÉTHODOLOGIE

1. $M-1$ hypothèses nulles : $H_m = H_{m+1}$, $m = 1, \dots, M-1$
2. Tri des estimées : $\hat{H}_{\tau(\cdot)} = \text{sort}(\hat{H})$
3. Statistiques de test : $\tilde{\delta}_m = \hat{H}_{\tau(m+1)} - \hat{H}_{\tau(m)} \simeq$ loi normale repliée ($\tilde{\mu}_m, \tilde{\sigma}_m$)
4. Sous hypothèse nulle $H_m = H_{m+1}$: $\tilde{\mu}_m = 0$

4. ÉVALUATION DES PERFORMANCES

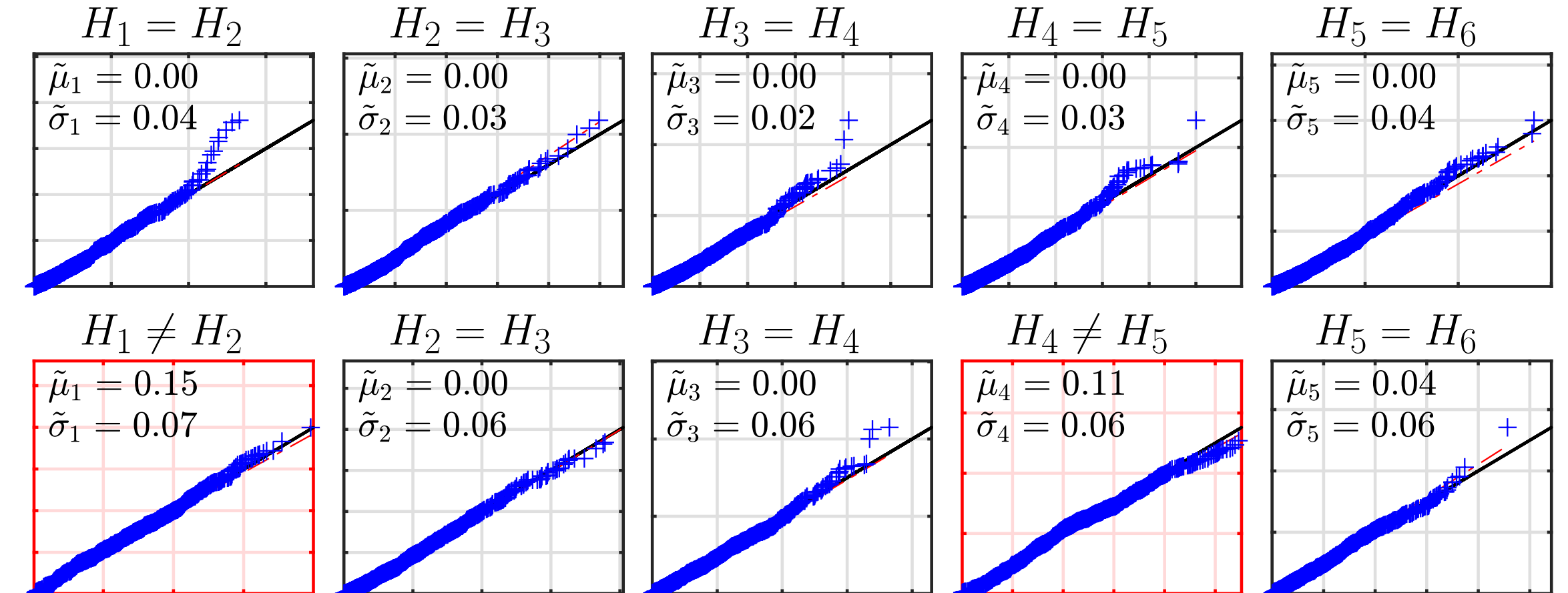
Simulations Monte Carlo

 $N_{MC} = 1000$ réalisations, $M = 6$, tailles d'échantillon $N \in \{2^{16}, 2^{17}, 2^{18}\}$

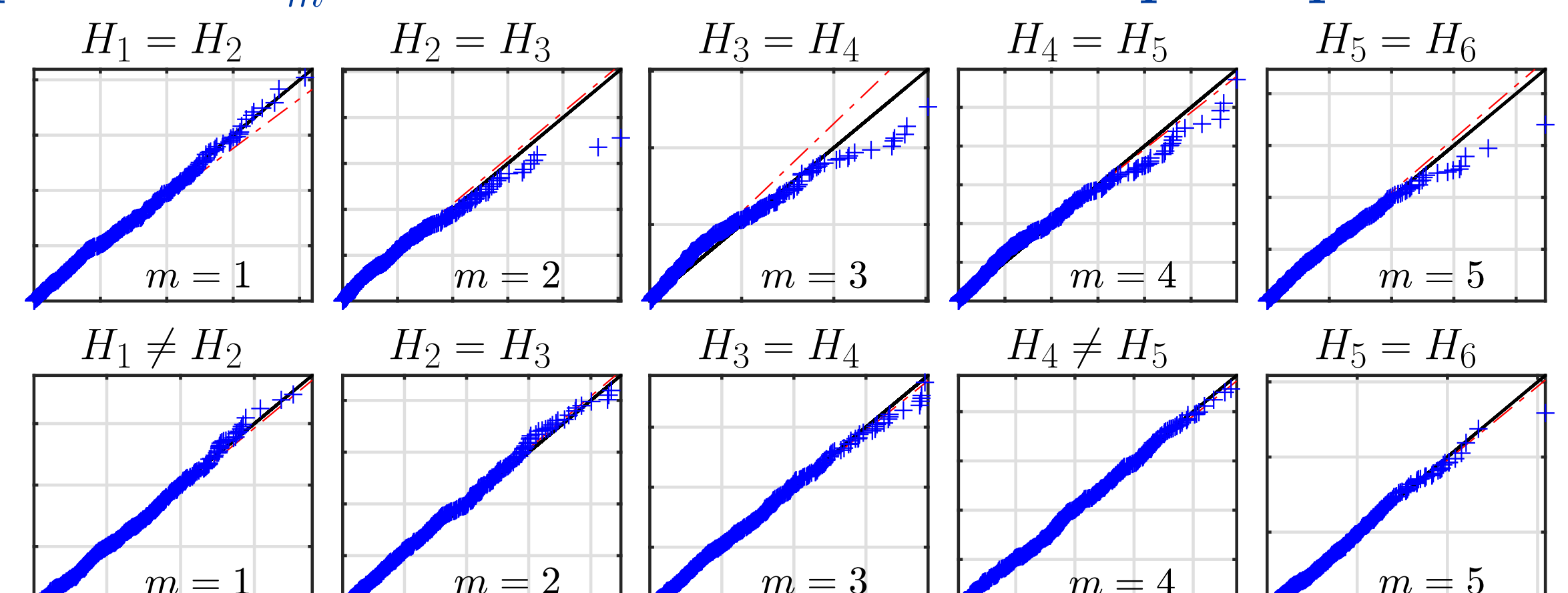
 Scénario 1 (1 groupe) : $\underline{H} = (0.8, 0.8, 0.8, 0.8, 0.8, 0.8)$

 Scénario 2 (3 groupes) : $\underline{H} = (0.4, 0.6, 0.6, 0.6, 0.8, 0.8)$

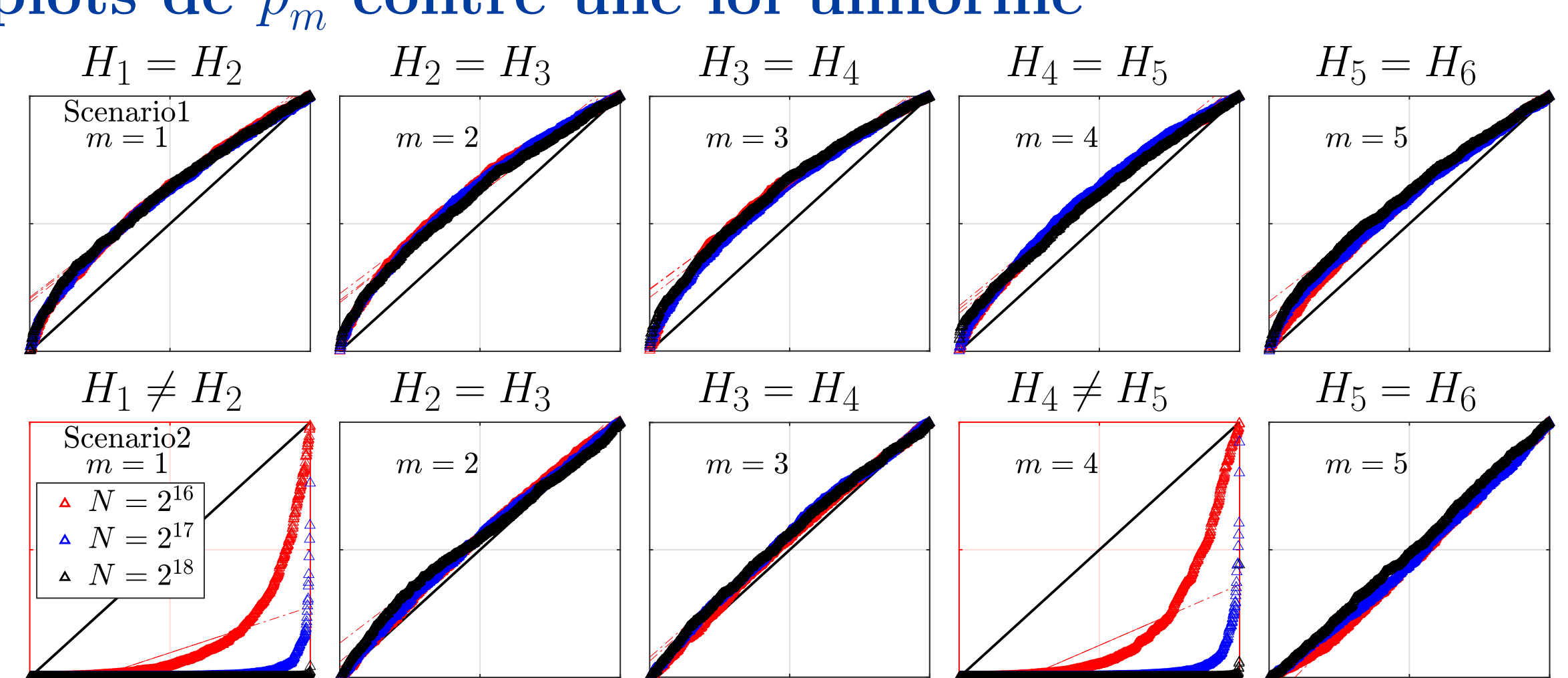
Q-Q plots de $\tilde{\delta}_m$ contre une loi normale repliée pour $N = 2^{16}$



Q-Q plots de $\tilde{\delta}_m^*$ contre une loi normale repliée pour $N = 2^{16}$



Q-Q plots de $\tilde{\mu}_m^*$ contre une loi uniforme



Estimation $\pi(\tilde{\mu}_m^*, \tilde{\sigma}_m^*)$ de la puissance $\langle d_\alpha^{(m)} \rangle$ des tests

	N	moyenne	$H_1 = H_2$	$H_2 = H_3$	$H_3 = H_4$	$H_4 = H_5$	$H_5 = H_6$
Scénario 1	2^{16}	$d_\alpha^{(m)}$	0.02	0.01	0.02	0.01	0.02
	2^{16}	$\pi(\tilde{\mu}_m^*, \tilde{\sigma}_m^*)$	0.07	0.05	0.05	0.05	0.06
	2^{17}	$d_\alpha^{(m)}$	0.01	0.01	0.01	0.01	0.01
	2^{17}	$\pi(\tilde{\mu}_m^*, \tilde{\sigma}_m^*)$	0.06	0.05	0.05	0.05	0.06
Scénario 2	2^{18}	$d_\alpha^{(m)}$	0.01	0.01	0.00	0.00	0.01
	2^{18}	$\pi(\tilde{\mu}_m^*, \tilde{\sigma}_m^*)$	0.06	0.05	0.05	0.05	0.06
	2^{16}	$d_\alpha^{(m)}$	0.51	0.05	0.05	0.49	0.09
	2^{16}	$\pi(\tilde{\mu}_m^*, \tilde{\sigma}_m^*)$	0.51	0.11	0.11	0.46	0.19
Scénario 2	2^{17}	$d_\alpha^{(m)}$	0.92	0.04	0.04	0.89	0.07
	2^{17}	$\pi(\tilde{\mu}_m^*, \tilde{\sigma}_m^*)$	0.83	0.12	0.11	0.76	0.18
	2^{18}	$d_\alpha^{(m)}$	1.00	0.03	0.04	1.00	0.06
	2^{18}	$\pi(\tilde{\mu}_m^*, \tilde{\sigma}_m^*)$	0.99	0.11	0.11	0.97	0.18

[Didier et al., 2011] G. Didier and V. Pipiras, "Integral representations and properties of operator fractional Brownian motions," Bernoulli, vol. 17, no. 1, pp. 1-33, 2011.

[Lucas et al., 2021] C.-G. Lucas, P. Abry, H. Wendt, and G. Didier, "Bootstrap for testing the equality of self-similarity exponents across multivariate time series," in Proc. European Signal Processing Conference (EUSIPCO), Dublin, Ireland, August 2021.